

НЕОРГАНИЧЕСКАЯ ХИМИЯ

УДК 546.87'62'562'42'41'21

СИНТЕЗ СВЕРХПРОВОДЯЩИХ КОМПОЗИТОВ В СИСТЕМЕ Bi-Sr-Ca-Cu-Al-O

В.В. Полтавец, П.Е. Казин, О.Н. Полтавец, Ю.Д. Третьяков, М. Янzen

(кафедра неорганической химии)

Исследована система Bi-Sr-Ca-Cu-Al-O с целью поиска фаз, содержащих алюминий и химически совместимых со сверхпроводящей фазой $\text{Bi}_2\text{Sr}_2\text{CaCu}_2\text{O}_{8+x}$. Установлено, что в условиях получения материала фазы $\text{BiSr}_{1.5}\text{Ca}_{0.5}\text{Al}_2\text{O}_{6.5}$ и $(\text{Sr}_{1-x}\text{Ca}_x)_3\text{Al}_2\text{O}_6$ ($x = 0.40-0.45$) находятся в равновесии с фазой Bi-2212. Разработан метод получения в данной системе двухфазных сверхпроводящих композитов.

Важными параметрами, влияющими на величину сверхпроводящего критического тока (J_c) являются микроструктура образца и сила пиннинга магнитных вихрей. Эффективными центрами пиннинга могут быть включения несверхпроводящих фаз в сверхпроводящую (СП) матрицу [1, 2].

Для фазы $\text{Bi}_2\text{Sr}_2\text{CaCu}_2\text{O}_{8+x}$ (Bi-2212) отмечалось, в частности, увеличение критического тока при добавлении окиси магния [3], сульфата стронция [4] и цирконата стронция [5, 6]. Если в большинстве случаев возрастание J_c связывают с увеличением силы пиннинга, то при допировании сульфатом стронция наблюдаемые изменения связывают с улучшением микроструктуры образца.

Систему Bi-Sr-Ca-Cu-Al-O исследовали ранее при изучении роста вискеров фазы Bi-2212 [7, 8, 9, 10, 11]. Было отмечено образование сложного оксида, содержащего висмут, стронций, кальций и алюминий. Однако состав фаз, содержащих алюминий и равновесных фазе Bi-2212, не был определен.

Настоящая работа посвящена поиску фаз, содержащих алюминий и равновесных со сверхпроводящей фазой $\text{Bi}_2\text{Sr}_2\text{CaCu}_2\text{O}_{8+x}$, а также поиску условий получения в данной системе двухфазных сверхпроводящих композитов.

Экспериментальная часть

Синтезированные образцы исследовали с помощью рентгенофазового анализа (камера-монохроматор Гинье «FR-552» (излучение $\text{Cu}-K_{\alpha 1}$), дифрактометр «Д-3М» (излучение $\text{Co}-K_{\alpha}$)), растровой электронной

микроскопии, рентгенолокального микроанализа (электронный микроскоп фирмы «Zeiss»), а также с помощью индуктивного метода (измерение зависимости магнитной восприимчивости от температуры). По модифицированной керамической методике были синтезированы ВТСП-керамика $\text{Bi}_{2.18}\text{Sr}_2\text{CaCu}_2\text{O}_{8+x}$ (Bi-2212) и серии образцов номинального состава $\text{Bi}_{2.18}\text{Sr}_2\text{CaCu}_2\text{O}_{8+x} + 0.5(\text{Sr}_{1-x}\text{Ca}_x)_y\text{Al}_2\text{O}_z$ ($x = 0-3$, $y = 0-3$) (ряд I), а также $\text{Bi}_{2.18}\text{Sr}_2\text{CaCu}_2\text{O}_{8+x} + \text{BiSr}_{2-x}\text{Ca}_x\text{Al}_2\text{O}_{6.5}$ ($x = 0.5, 1$) (ряд II), а также чистые фазы, содержащие алюминий (табл. 1). Синтез проводили из оксидов и карбонатов, расчетные количества которых растворяли в избытке азотной кислоты, полученный раствор упаривали досуха и разлагали с промежуточным помолом в течение 12 ч при 800° . Затем образующийся оксидный прекурсор прессовали в таблетки и отжигали три раза по 24 ч при 860° с промежуточными помолами и прессованием.

Температура сверхпроводящего перехода фазы Bi-2212 составляла >80 К и не зависела от добавки. По данным рентгенофазового анализа и измерения магнитной восприимчивости максимальное содержание СП фазы Bi-2212 отмечено для состава Bi-2212 + $0.5\text{Sr}_2\text{CaAl}_2\text{O}_6$ и образцов II ряда. Рентгенограммы образцов II ряда состоят из линий фазы Bi-2212 и пиков, совпадающих с пиками образцов состава $\text{BiSr}_{2-x}\text{Ca}_x\text{Al}_2\text{O}_{6.5}$ (Al-122). Других фаз обнаружено не было. Для образца с добавкой $\text{BiSrCaAl}_2\text{O}_{6.5}$ наблюдали смещение рентгеновских дифракционных пиков фазы, содержащей алюминий, относительно образца

Таблица 1

Номинальные составы, относительный процент сверхпроводящей фазы и данные РФА для образцов, синтезированных по керамической технологии

Bi_{2.18}Sr₂CaCu₂O_{8+x}(2212), Bi₂Sr₂CuO_{6.5}(2201), BiSr_{2-x}Ca_xAl₂O_{6.5}(Al-122)

Номинальный исходный состав	Содержание СП фазы*, %	Данные РФА
2212	100	2212
2212+Al ₂ O ₃	28	2212, 2201, BiSr _{2-x} Ca _x Al ₂ O _{6.5} ,
2212+0.5SrAl ₂ O ₄	34	(Sr _{1-x} Ca _x) ₃ Al ₂ O _{6.5}
2212+0.5CaAl ₂ O ₄	59	SrAl ₂ O ₄ ,
2212+0.5Sr ₃ Al ₂ O ₆	14	найдено
2212+0.5Sr ₂ CaAl ₂ O ₆	70	–
2212+0.5SrCaAl ₂ O ₆	50	–
2212+0.5Ca ₃ Al ₂ O ₆	40	–
2212+BiSr _{1.5} Ca _{0.5} Al ₂ O _{6.5}	100	2212+Al-122
2212+BiSrCaAl ₂ O _{6.5}	100	2212+Al-122
BiSr _{1.5} Ca _{0.5} Al ₂ O _{6.5}	–	Al-122
BiSrCaAl ₂ O _{6.5}	–	Al-122

*Вычислено как отношение значений магнитной

состава BiSrCaAl₂O_{6.5} в сторону больших межплоскостных расстояний, а для образца с добавкой BiSr_{1.5}Ca_{0.5}Al₂O_{6.5} смещение пиков относительно рентгенограммы образца сравнения (BiSr_{1.5}Ca_{0.5}Al₂O_{6.5}) отсутствовало. Следовательно, равновесным с Bi_{2.18}Sr₂CaCu₂O_{8+x} является состав с отношением Sr:Ca, равным 3:1 (BiSr_{1.5}Ca_{0.5}Al₂O_{6.5}). Методом кристаллизации из частичного расплава были синтезированы несколько серий образцов номинального состава Bi_{2.18}Sr₂CaCu₂O_{8+x}+n BiSr_{1.5}Ca_{0.5}Al₂O_{6.5} (n=0; 0.1; 0.2; 0.5; 1; 2). Оксидные прекурсоры подвергали перитектическому плавлению в интервале температур 890–930° с последующим медленным охлаждением (1град/ч) до 860° и дальнейшим охлаждением вместе с печью. Основной фазой в недопированном образце была фаза Bi-2212. Кроме того, было отмечено присутствие и примесных фаз: купрата стронция–кальция ((Sr_{1-x}Ca_x)CuO₂), висмутата стронция–кальция (Sr_{1-x}Ca_xAl₂O_{6.5}),

(Ca₅Sr₁₁Bi₉O_x) и фазы Bi₂Sr₂CuO_{6+d} (Bi-2201). Для образцов, допированных составом BiSr_{1.5}Ca_{0.5}Al₂O_{6.5}, при небольшом количестве добавки (менее полумоля на один моль расчетного количества фазы Bi-2212) основными фазами являются Bi-2212 и (Sr_{1-x}Ca_x)₃Al₂O₆ (x = 0.40 – 0.45), присутствуют также примеси купрата стронция–кальция (Sr_{1-x}Ca_x)CuO₂, висмутата стронция–кальция (Ca₅Sr₁₁Bi₉O_x) и фазы Bi-2201. Частицы алюмината стронция–кальция, имеющие размер 0.5–5.0 мкм и круглую (иногда гексагональную) форму, включены в матрицу висмутового сверхпроводника, причем, судя по чистой границе раздела этих фаз, взаимодействия между ними не происходит. Наблюдения показали, что фаза (Sr_{1-x}Ca_x)₃Al₂O₆ находится в купрате стронция–кальция, висмутате стронция–кальция и фазе Bi-2201, что может свидетельствовать о совместимости алюмината стронция–кальция с этими фазами. Фаза BiSr_{2-x}Ca_xAl₂O_{6.5} в образцах указанных ранее составов не обнаружена.

При увеличении количества добавки (более полумоля на один моль расчетного количества фазы Bi-2212) появляется фаза BiSr_{2-x}Ca_xAl₂O_{6.5}, причем содержание ее увеличивается с возрастанием количества добавки, в то время как содержание фазы (Sr_{1-x}Ca_x)₃Al₂O₆, наоборот, уменьшается. Частицы фазы BiSr_{2-x}Ca_xAl₂O_{6.5}, имеющие размеры от 0.5 до 5.0 мкм, находились в непосредственном контакте с фазой Bi-2212 и были практически полностью агрегированы между кристаллитами сверхпроводящей фазы. В образцах с большим содержанием добавки было также обнаружено присутствие висмутата стронция–кальция и фазы Bi-2201 (купрат стронция–кальция не был обнаружен). По данным рентгенолокального микроанализа в фазе Bi-2212 алюминий обнаружен не был.

Следует обратить внимание на исчезновение купрата стронция–кальция при появлении фазы Al-122. По правилу фаз при фиксированном парциальном давлении кислорода и одной степени свободы (температура) для пятикомпонентной системы следует, что максимальное число фаз, находящихся в равновесии, не может быть больше пяти. При малом количестве добавки такими равновесными фазами являются: Bi-2212, (Sr_{1-x}Ca_x)₃Al₂O₆ (x=0.40–0.45), (Sr_{1-x}Ca_x)CuO₂, Ca₅Sr₁₁Bi₉O_x и фаза Bi-2201. Основными фазами являются Bi-2212 и (Sr_{1-x}Ca_x)₃Al₂O₆.

При появлении фазы BiSr_{2-x}Ca_xAl₂O_{6.5} число равновесных фаз (Bi-2212, (Sr_{1-x}Ca_x)₃Al₂O₆ (x=0.40–0.45), BiSr_{2-x}Ca_xAl₂O_{6.5}, Ca₅Sr₁₁Bi₉O_x, Bi-2201) остается прежним, поскольку исчезает купрат стронция–

Таблица 2

**Номинальные составы и результаты анализов
для серий образцов состава**

$$\text{Bi}_{2.18}\text{Sr}_2\text{CaCu}_2\text{O}_{8+x} + n \text{BiSr}_{1.5}\text{Ca}_{0.5}\text{Al}_2\text{O}_{6.5}$$

$$(n = 0; 0.1; 0.2; 0.5; 1)$$

$$\text{Bi}_{2.18}\text{Sr}_2\text{CaCu}_2\text{O}_{8+x} = 2212$$

$$\text{BiSr}_{2-x}\text{Ca}_x\text{Al}_2\text{O}_6 = \text{Al-122}$$

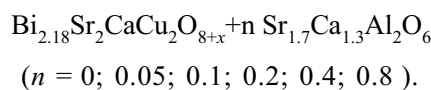
$$\text{Bi}_2\text{Sr}_2\text{CuO}_{6+8} = 2201$$

$$\text{Ca}_{1.0}\text{Sr}_{2.3}\text{Bi}_{2.0}\text{O}_9 = \text{Bi-5-11-9}$$

Номинальные составы	Данные РФА	Данные рентгенолокального микроанализа
$\text{Bi}_{2.18}\text{Sr}_2\text{CaCu}_2\text{O}_{8+x}$	2212	2212, $(\text{Sr}, \text{Ca})\text{CuO}_2$, Bi-5-11-9, 2201
$\text{Bi}_{2.18}\text{Sr}_2\text{CaCu}_2\text{O}_{8+x} + 0.1 \text{BiSr}_{1.5}\text{Ca}_{0.5}\text{Al}_2\text{O}_{6.5}$	–	2212, $(\text{Sr}, \text{Ca})\text{CuO}_2$, $(\text{Sr}_{1-x}\text{Ca}_x)_3\text{Al}_2\text{O}_6$
$\text{Bi}_{2.18}\text{Sr}_2\text{CaCu}_2\text{O}_{8+x} + 0.2 \text{BiSr}_{1.5}\text{Ca}_{0.5}\text{Al}_2\text{O}_{6.5}$	2212, $(\text{Sr}_{1-x}\text{Ca}_x)_3\text{Al}_2\text{O}_6$	Bi-5-11-9, 2201
$\text{Bi}_{2.18}\text{Sr}_2\text{CaCu}_2\text{O}_{8+x} + 0.5 \text{BiSr}_{1.5}\text{Ca}_{0.5}\text{Al}_2\text{O}_{6.5}$	2212, Al-122	2212, Al-122,
$\text{Bi}_{2.18}\text{Sr}_2\text{CaCu}_2\text{O}_{8+x} + \text{BiSr}_{1.5}\text{Ca}_{0.5}\text{Al}_2\text{O}_{6.5}$	2212, Al-122	$(\text{Sr}_{1-x}\text{Ca}_x)_3\text{Al}_2\text{O}_6$ Bi-5-11-9, 2201

зеренных связей. Более того, при оптимизации размеров частиц они могут служить центрами пиннинга. Из вышесказанного ясно, что для получения сверхпроводящих материалов наиболее предпочтительным является состав $\text{Bi}-2212/(\text{Sr}_{1-x}\text{Ca}_x)_3\text{Al}_2\text{O}_6$ ($x=0.4-0.45$).

Путем охлаждения перитектического расплава от 930° были синтезированы две серии образцов формального состава



По данным рентгенофазового и рентгенолокального анализов, полученные образцы состояли в основном из фаз $\text{Bi}-2212$ и $(\text{Sr}_{1-x}\text{Ca}_x)_3\text{Al}_2\text{O}_6$, причем зерна алюмината были гомогенно распределены в слоистой матрице $\text{Bi}-2212$ (табл. 2).

Учитывая приведенные выше данные, следует отметить перспективность использования алюмината $(\text{Sr}_{0.6}\text{Ca}_{0.4})_3\text{Al}_2\text{O}_6$ для создания сверхпроводящих композиционных материалов с высокими значениями критического тока.

Работа поддержана Министерством науки РФ (международный проект «Композит») и Министерством науки и образования Германии (проект №13N6761).

СПИСОК ЛИТЕРАТУРЫ

1. Majewski P., Elschner S., Hettich B. et al. // Supercond. Sci Technol. 1994. **7**. P. 514.
2. Murakami M. // Progress in Material Science. 1994. **38**. P. 311.
3. Soylu B., Adamopoulos N., Glowacka D.M., Evetts J.E. // Appl. Phys. Lett. 1992. **25**. P. 3183.
4. Elschner S., Bock J., Bestgen H. // Supercond. Sci. Technol. 1993. **6**. P. 413.
5. Kazin P.E., Jansen M., Tretyakov Yu.D. // Physica C. 1994. **235-240**. P. 493.
6. Kazin P.E., Jansen M., Larrea A., G.F. de la Fuente, Tretyakov Yu.D. // Physica C. 1995. **253**. P. 391.
7. Lin J.J., Lin W.Y., Tsui R.F. // Physica C. 1993. **210**. P. 455.
8. Abe Y., Hirata K., Hosono H., Kubo Y. // J. Mater. Res. 1992. **7**. P. 1599.
9. Lee S., Kwon K.-J., Kim W.-S., Lee S.-I. // Physica C. 1995. **251**. P. 149.
10. Matsubara I., Funahashi R., Ogura T. // J. Crystal Growth. 1994. **141**. P. 131.
11. Bordet P., Capponi J.J., Chaillout C., Chenavas J., et al. // Physica C. 1988. **153-155**. P. 623.

кальция. Купраты часто появляются в качестве примесных фаз при получении висмутовых сверхпроводящих керамик. В изученных образцах размеры частиц купратов достигали 100–150 мкм и могли ухудшать свойства материала. Поэтому исчезновение купратов в сильно допированных образцах является важным проявлением модификации свойств системы при введении допирующей добавки.

Таким образом, в образцах, полученных при данных условиях, имеются две фазы, содержащие алюминий и равновесные со сверхпроводящей керамикой $\text{Bi}_{2.18}\text{Sr}_2\text{CaCu}_2\text{O}_{8+x}$: $\text{BiSr}_{2-x}\text{Ca}_x\text{Al}_2\text{O}_{6.5}$ ($x=0.5$) и $(\text{Sr}_{1-x}\text{Ca}_x)_3\text{Al}_2\text{O}_6$ ($x=0.40-0.45$). Результаты рентгенофазового анализа согласуются с данными рентгенолокального микроанализа и указывают на изоморфизм структуры частиц состава $(\text{Sr}_{0.55}\text{Ca}_{0.45})_3\text{Al}_2\text{O}_6$ решетке $\text{Sr}_3\text{Al}_2\text{O}_6$.

Агрегация фазы Al-122 на границах кристаллитов может привести к ухудшению связей между сверхпроводящими блоками, в то время как включения $(\text{Sr}_{1-x}\text{Ca}_x)_3\text{Al}_2\text{O}_6$ не должны уменьшать силу меж-